

ТЕРМОДИНАМІКА СПОЛУК ВКЛЮЧЕННЯ ЛІТІЮ У ПЕНТАОКСИД ВАНАДІЮ

В. І. Гаврилюк

Дніпропетровський технічний університет залізничного транспорту
Україна, 320700 ДСП, Дніпропетровськ-10, вул. акад. Лазаряна, 2
(Отримано 26 червня 1995)

Методом вимірювання ЕРС гальванічного елемента в інтервалі 283–323 К досліджені термодинамічні властивості сполук включення $\text{Li}_x\text{V}_2\text{O}_5$ та запропонована модель, яка пояснює одержані результати.

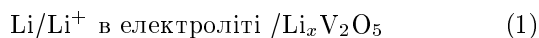
Ключові слова: пентаоксид ванадію, фазова діаграма.

PACS number(s): 65.50.tm

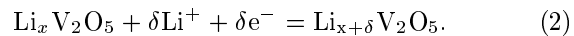
Виявлено кристалічна структура пентаоксиду ванадію з досить великим об'ємом міжвузловин та двонапрямленими тунелями забезпечує необхідні умови для включення в оксид при кімнатній температурі іонів з невеликим радіусом із відповідних розчинів, крім того, реакція в певному інтервалі складу є обворотна. Внаслідок цього утворюється новий клас сполук включення $\text{M}_x\text{V}_2\text{O}_5$ (де М — елементи Li, H, Na та деякі інші), структура і властивості яких значно відрізняються порівняно з ванадієвими бронзами аналогічного складу, синтезованими при високих температурах [1–3]. Велика ємність та провідність літій–ванадієвих сполук включення по інжектованих іонах, а також виявлені в них електрооптичні та фотоелектричні ефекти зумовлюють широкі перспективи їхнього впровадження у промислову електроніку та енергетику.

Автори [1, 2], досліджуючи фазовий склад літій–ванадієвої бронзи, синтезованої при кімнатній температурі, виділили три фази з орторомбічною структурою ($0 < x < 0.1$ (І), $0.35 < x < 0.50$ (ІІ) та $0.9 < x < 1.0$ (ІІІ)). У [3] запропонована фазова діаграма бронзи $\text{Li}_x\text{V}_2\text{O}_5$ ($0 < x < 1$), яка також свідчить про наявність трьох фаз з орторомбічною структурою (α , ϵ та δ), але наведені області гомогенності фаз відрізняються від даних [1]. Дослідження структури сполук включення $\text{Li}_x\text{V}_2\text{O}_5$ методом рентгенофазового аналізу не дає змоги безпосередньо одержати інформацію про характер розміщення іонів літію в міжвузловинах пентаоксиду ванадію внаслідок їхньої малої розсіювальної здатності. Тому математичне моделювання є практично основним засобом вивчення літієвої підсистеми сполуки. Для побудови моделі та перевірки її адекватності ми дослідили термодинаміку проникнення літію в пентаоксид ванадію з органічного електроліту.

Термодинамічні властивості $\text{Li}_x\text{V}_2\text{O}_5$ досліджені методом вимірювання ЕРС гальванічного елемента



в інтервалі 283–323 К, потенціалоутворююча реакція якого має вигляд [1–3]



Вимірювання виконані в трьохелектродній чарунці згідно з методикою, наведеною в [4]. Реакція включення перебігала при струмі густиною $0.1 \text{ mA}/\text{cm}^2$. Сталу температуру забезпечили за допомогою термокамери ТК-1 з точністю $\pm 0.5 \text{ K}$. Температурну залежність ЕРС вимірювали як під час нагрівання, так і під час охолодження потенціометром Р37-1 з точністю $\pm 0.5 \text{ K}$. Значення ЕРС приймали як рівноважні, якщо їхні зміни не перевищували 0.2 mV за 2 год. Дисперсія відтворювання ЕРС $S_{E(T)}^2 = 0.045 \text{ mV}^2$ ($n = 40$). Зміни параметрів ґратки оксиду внаслідок включення в неї іонів літію досліджені на установці ДРОН 2.0. Оскільки політерми ЕРС були майже лінійні, то математичну обробку результатів вимірювання виконано методом найменших квадратів з апроксимуючим рівнянням у вигляді $E = \bar{E} + B(T - \bar{T})$. За результатами статистичної обробки даних обчислені, аналогічно [5], композиційні залежності відносних парціальних мольних термодинамічних параметрів, а також інтегруванням рівняння Гіббса–Дюгема — значення відповідних інтегральних параметрів.

x	Дані автора	Дані [1]
0.10	31.36 ± 0.08	31.78 ± 0.84
0.45	143.77 ± 0.20	147.78 ± 1.39
1.00	311.74 ± 0.39	—
1.03	—	329.79 ± 1.93

Таблиця. Мольна ентальпія утворення $\text{Li}_x\text{V}_2\text{O}_5$ (ΔH , $\text{kJ}/\text{моль}$) за реакцією (2).

Залежність відносної парціальної мольної ентальпії літію $\Delta\bar{H}_{\text{Li}}(x)$ у $\text{Li}_x\text{V}_2\text{O}_5$ та змін мольної ентропії $\Delta S(x)$ при утворенні сполуки за реакцією (2) показані на рис. 1 та наведені в таблиці, де для порівняння є також дані, одержані в [1] методом калориметрії розчинення. На графіку залежності $\Delta\bar{H}_{\text{Li}}(x)$

від складу сполуки включення (рис. 1) простежуються мінімуми при $x \approx 0.22$ та дві області значного підвищення $\Delta\bar{H}_{\text{Li}}(x)$ при $x \approx 0.45$ – 0.50 та 0.95 – 1.0 , для яких на графіку $\Delta S(x)$ помітні три мінімуми при $x \approx 0.25$, 0.47 та 1.0 , що свідчить про процеси упорядкування в $\text{Li}_x\text{V}_2\text{O}_5$ при цих значеннях x . Збіг інтервалів складу, при яких спостерігають мінімуми на кривих $\Delta\bar{H}_{\text{Li}}(x)$ та $\Delta S(x)$ ($x \approx 0.22$ – 0.25) (див. рис. 1) з областю складів зі значними змінами параметрів ґратки оксиду (рис. 2), відображає домінуючий вплив структурного фактора на термодинамічні властивості $\text{Li}_x\text{V}_2\text{O}_5$ у цьому діапазоні складів. На підставі одержаних результатів запропонована модель, згідно з якою під час розміщення в $\text{Li}_x\text{V}_2\text{O}_5$ йонів літію та електронів, інжектованих за реакцією (2), оксидно-ванадієва підґратка навколо інжектованих зарядів деформується. Оскільки для йона літію більш енергетично вигідним є оточення вакантними міжузловинами, ніж іншими інжектованими йонами, ймовірність заселення міжузловин, сусідніх з зайнятими (внаслідок деформаційної взаємодії), зменшується, що викликає появу в системі близького порядку. Зі

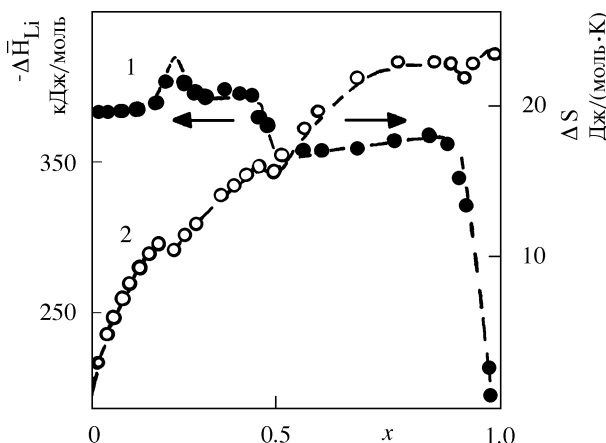


Рис. 1. Залежності $\Delta\bar{H}_{\text{Li}}(x)$ (1) та $\Delta S(x)$ (2) від x (точки — експеримент, лінія — розрахунок).

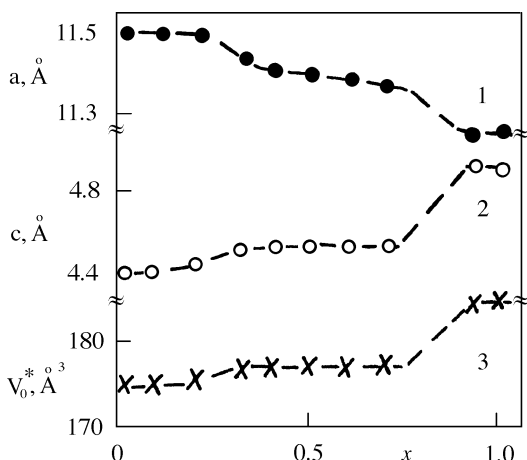


Рис. 2. Залежності параметрів a , c та об'єму V_0^* елементарної комірки $\text{Li}_x\text{V}_2\text{O}_5$ від параметра складу x .

збільшенням $x > 0.2$ локальні деформації оксидно-ванадієвої підґратки, утворені поблизу інжектованих йонів, взаємодіючи та упорядковуючись, спричиняють перебудову структури (що виявляється у вигляді згину шарів, складених з VO_5 біпірамід), внаслідок якої в ґратці формуються два типи міжузловинних позицій, що відрізняються енергією розміщення в них інжектованих йонів літію, крім того, кількість міжузловин кожного типу становить приблизно половину від їхньої загальної кількості. Зменшення потенціальної енергії інжектованих йонів під час перебудови оксидно-ванадієвої підґратки веде до збільшення їхньої енергії зв'язку з ґраткою та відповідно до погіршення оборотності реакції включення. Мінімуми $\Delta S(x)$ при $x \approx 0.5$ та 1.0 зумовлені у літієвій підсистемі сполуки, крім того, упорядкування при $x \approx 0.5$ пов'язане з розміщенням йонів літію у міжузловинах двох типів, а при $x \approx 1.0$ — з заповненням інжектованими йонами всіх міжузловин у ґратці оксиду. Для перевірки запропонованої моделі на її підставі розроблено математичний опис та виконані розрахунки термодинамічних параметрів [5]. Зміни енергії системи внаслідок реакції включення (2) дорівнюють сумі енергій, що відповідають інжекції йонів літію та електронів в оксид ΔW_{ins} , їхньої взаємодії між собою ΔW_{int} , а також приросту енергії коливання ґратки сполуки ΔW_{vib} :

$$\Delta W = \sum_{i=1}^2 N_i^{\xi+} w_i^{\xi+} + N_i^{\xi-} w_i^{\xi-} + \Delta W_{\text{int}} + \Delta W_{\text{vib}}, \quad (3)$$

де $N_i^{\xi+}$ — мольна густина йонів літію, розташованих у $D_i^{\xi+}$ міжузловинних позиціях з енергією $w_i^{\xi+}$; а $N_i^{\xi-}$ — мольна густина інжектованих електронів, розташованих на $D_i^{\xi-}$ електронних рівнях з енергією $w_i^{\xi-}$. Використовуючи параметр далекого порядку η , який характеризує упорядкування при розміщенні інжектованих йонів у міжузловинах двох типів, що відрізняються між собою енергією [6, 7], можна записати

$$\Delta W_{\text{ins}}(x) = x \left[(W_1^{\xi+} + W_2^{\xi-}) + (1 - \eta) d_2 \Delta W^{\xi+} \right], \quad (4)$$

де

$$W_i^{\xi+} = N_a w_i^{\xi+}; \quad W_i^{\xi-} = N_a w_i^{\xi-}; \\ \Delta W^{\xi+} = W_2^{\xi+} - W_1^{\xi+};$$

N_a — стала Авогадро.

Енергія взаємодії інжектованих йонів визначена в наближенні Брегга–Вільямса [7], а зміни коливальної енергії ґратки при інжекції йонів — у наближенні Айнштайна [6]:

$$\Delta W_{\text{vib}}(x) = x [W_1^\nu + (1 - \eta) d_2 \Delta W^\nu], \quad (5)$$

де

$$W_i^\nu = RT \ln \left[\left(\frac{\hbar \nu_i^{\xi+}}{kT} \right)^3 \left(1 + \frac{\Delta \nu_i}{\nu_i} \right)^{\zeta_i} \right], \quad (6)$$

$\Delta W^\nu = \Delta W_2^\nu - \Delta W_1^\nu$; R — універсальна газова стала.

Конфігураційна складова ентропії визначена відповідно до формули Больцмана [6, 7]:

$$\Delta S = k \ln \prod_{i=1}^2 \frac{D_i^{\xi+}!}{N_i^{\xi+}! (D_i^{\xi+} - N_i^{\xi+})!} \times \frac{D_i^{\xi-}!}{N_i^{\xi-}! (D_i^{\xi-} - N_i^{\xi-})!}. \quad (7)$$

Зміни ентальпії $\Delta H(x)$ сполуки внаслідок зміни

її об'єму під час інжекції йонів літію в оксид враховані апроксимацією відповідної експериментальної залежності. Підставивши формулу для мольної вільної енергії Гіббса (одержаної з (4)–(7) та рівняння $\Delta G = \Delta H - T\Delta S$) в умову рівноваги $\partial(\Delta G)/\partial\eta = 0$ дас рівняння, з якого визначена залежність $\Delta G(x)$. Результати розрахунків на підставі побудованої моделі задовільно збігаються з експериментальними даними. Виявлено, що на початковій стадії проникнення літію в V_2O_5 ($x < 0.2$) домінуючу роль у розміщенні інжектованих іонів у міжвузловинах відіграє деформаційна взаємодія між іонами літію (з енергією 9.7 ± 0.5 кДж/моль), а також інжектованих електронів між собою та з іонами (7.5 ± 0.5 кДж/моль), а при $x > 0.3$ визначальним стає різниця в енергіях двох типів міжвузловин (28.5 ± 0.5 кДж/моль), утворених унаслідок деформації оксидно-ванадієвої підгратки $Li_xV_2O_5$ при $0.2 < x < 0.3$.

- [1] P. G. Dickens, S. J. French, A. T. Hight, Mater. Res. Bull. **14**, 1295 (1979).
- [2] P. G. Dickens, S. J. French, A. T. Hight, Solid State Ionics **2**, 27 (1981).
- [3] D. W. Murphy, P. A. Christian, F. J. Di Salvo, Inorg. Chem. **18**, 2800 (1979).
- [4] В. А. Гейдерих, А. В. Никольская, И. А. Васильев, *Соединения переменного состава* (Химия, Ленинград, 1969).
- [5] V. I. Gavriluk, V. N. Plachotnik, Int. Symp. of Calorimetry and Chem. Thermodyn.: Abstracts (Moscow, 1991), p. 86.
- [6] В. Н. Чеботин, *Физическая химия твердого тела* (Химия, Москва, 1982).
- [7] Л. И. Жирифалько, *Статистическая физика твердого тела* (Мир, Москва, 1975).

THERMODYNAMICS OF LITHIUM INSERTION INTO VANADIUM PENTOXIDE

I. V. Gavrilyuk

Technical University of Railway Transport
2 Lazaryana Str., Dnipropetrovsk UA-320700, Ukraine

The thermodynamic study of lithium insertion into vanadium pentoxide was conducted using the e.m.f. measurements method in 293–323 K temperature range. A model explaining the obtained results was proposed.